

## 新スクッテルダイト化合物 $YT_4P_{12}$ ( $T=Fe, Ru, Os$ ) の 超伝導と体積弾性率

(室蘭工大工学部) ○城谷一民、林純一、武田圭生

### 1. 序論

充填スクッテルダイト化合物  $LnT_4X_{12}$  ( $Ln$ = lanthanide;  $T$ = Fe, Ru, Os;  $X$ = P, As, Sb) は超伝導、半導体、強磁性、反強磁性、重い電子状態など多様な物性を示すうえ、熱電材料としても注目される興味深い物質系である。これらの結晶構造を図 1 に示す。 $Ln$  原子が軽希土類のときは大気圧下で合成できるが、重希土類の化合物をつくることができない。我々は高温高圧下で、重希土類の入る新スクッテルダイト化合物の合成に成功した[1-3]。Y の原子半径は重希土類元素 Dy のそれとほぼ等しいので、 $YT_4P_{12}$  を合成した。新物質  $YT_4P_{12}$  ( $T=Fe, Ru, Os$ ) の電気的磁気的性質を研究し、超伝導に転移することを見出した。また高圧下の X 線回折を調べ、体積 - 圧力曲線から体積弾性率を求めた。 $YT_4P_{12}$  の  $T_c$  と体積弾性率の関係を考察した。

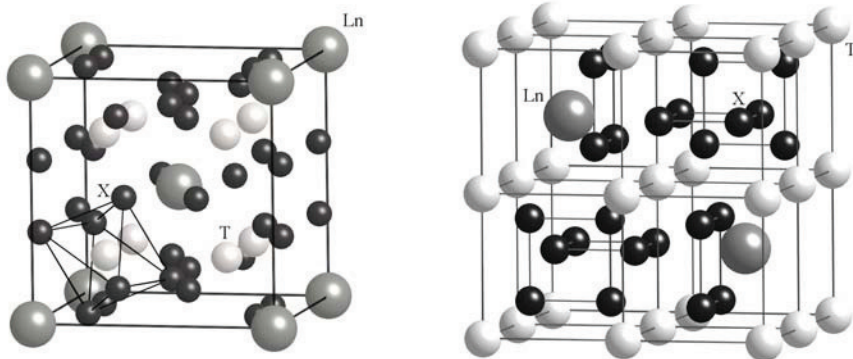


図 1 スクッテルダイト化合物の結晶構造

### 2. 実験

斜面駆動式キュービックアンビル型高圧発生装置を用い、Y と T 金属の粉末および赤リン粉末をよく混ぜて固め、これらを 4 GPa 下で 1050-1150°C に加熱して、新スクッテルダイト化合物  $YT_4P_{12}$  ( $T=Fe, Ru, Os$ ) を合成した[4]。生成物の同定は粉末 X 線回折法を用いて行なった。放射光を線源とし、ダイヤモンドアンビル型高圧装置とイメージングプレートを用いて、 $YT_4P_{12}$  の高圧下の粉末 X 線回折を研究した。

### 3. 結果と考察

Y 原子は f 電子を持たないので超伝導が期待できる。図 2 に低温下における  $YT_4P_{12}$  ( $T=Fe, Ru, Os$ ) の電気抵抗を示す。これらのスクッテルダイトは極低温下で超伝導転移を示し、 $T_c$  は Fe 化合物で 7 K, Ru で 8.5 K, Os で 3 K である。f 電子を持たない  $LaT_4P_{12}$  も超伝導になることはすでに知られている。図 3 に  $LnT_4P_{12}$  ( $Ln=Y, La$ ;  $T=Fe, Ru, Os$ ) の  $T_c$  と格子定数の関係を示す。どちらも Ru のところで  $T_c$  が最も高い。

高圧下における  $YFe_4P_{12}$  の粉末 X 線回折パターンを室温で 10 GPa まで測定した。すべての回折線はスクッテルダイト構造で指数付けできる。回折線の d-value は圧力の増加とともに減少する。新しい回折線は 10 GPa までは現れず、相転移は観測されない。図 4 に  $YT_4P_{12}$  の体積 - 圧力曲線を示す。実線は Birch の固体の状態方程式で fit させている。これより体積弾性率( $B_0$ )とその圧力

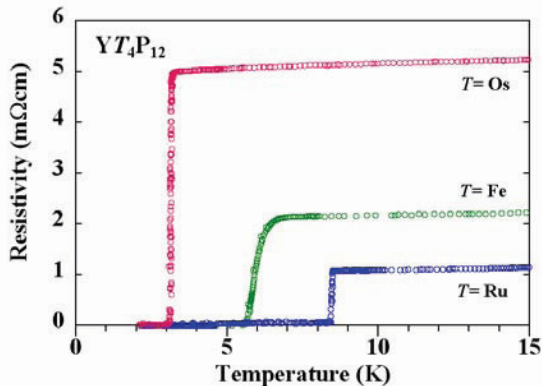


図2  $YT_4P_{12}$ ( $T=Fe, Ru, Os$ )の抵抗－温度曲線

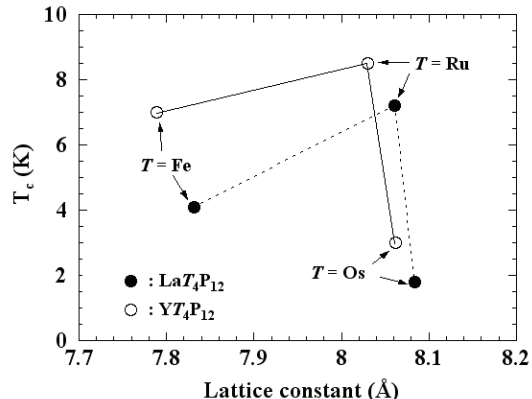


図3  $LnT_4P_{12}$  ( $Ln=Y, La$ ;  $T=Fe, Ru, Os$ )の  
 $T_c$ と格子定数の関係

微分( $B_0'$ )が求められる。表1に  $LnT_4P_{12}$  ( $Ln=Y, La$ ;  $T=Fe, Ru, Os$ )の格子定数、 $B_0$  及び  $T_c$  を示す。

我々はスクッテルダイトのリン化物とアンチモン化合物の体積弾性率を系統的に研究した[5]。例えば  $CeFe_4Sb_{12}$  の体積は  $CeFe_4P_{12}$  に比べると約60% 増加するが  $B_0$  は約1/2に減少する。体積が増大するにつれて体積弾性率は低下することを示している。しかし、表1に示すように、Os 化合物は Fe に比べ約10%の体積が増加するにもかかわらず、 $B_0$  は増大する。これは大変興味深い結果で、共有結合性などの化学結合が重要な役割を果たしていると考えられる。超伝導の  $T_c$  は Ru 化合物のところで最高である。 $B_0$  は Os 化合物が最大であるので、 $T_c$  と  $B_0$  の間には直線的関係はないことが見出された。

## 文献

- [1] I. Shirota et al., J. Solid State Chem. 174, 32 (2003).
- [2] K. Kihou et al., Mater. Res. Bull. 39, 317 (2004).
- [3] I. Shirota et al., J. Phys. Condens. Matter, 17, 4383 (2005).
- [4] I. Shirota, Bull. Chem. Soc. Jpn. 76, 1291 (2003).
- [5] I. Shirota et al., J. Phys. Condens. Matter, 16, 7853 (2004).

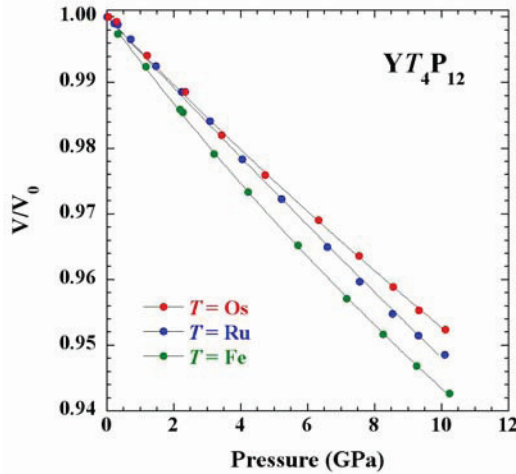


図4  $YT_4P_{12}$ ( $T=Fe, Ru, Os$ )の体積 - 圧力  
曲線

表1  $LnT_4P_{12}$  ( $Ln=Y, La$ ;  $T=Fe, Ru, Os$ )の  
格子定数、 $B_0$  及び  $T_c$

compound	$a$ (Å)	$B_0$ (GPa)	$T_c$ (K)
$LaFe_4P_{12}$	7.8316	150	4.1
$LaRu_4P_{12}$	8.0605	172	7.2
$LaOs_4P_{12}$	8.0844	190	1.8
$YFe_4P_{12}$	7.789	144	7
$YRu_4P_{12}$	8.0298	183	8.5
$YOs_4P_{12}$	8.0615	189	3